

การออกแบบพีดับบลิวเอ็มอินเวอร์เตอร์แบบหลายระดับที่มี
ความเพี้ยน率าร์โนนิกส์ต่ำสำหรับงานผลิตไฟฟ้าด้วยเซลล์แสงอาทิตย์

Designing of Low Harmonics Distortion Multilevel PWM Inverter for PV Applications

วันชัย ทรัพย์สิงห์¹ และ เสจีym จันทร์จำรัส ²

บทคัดย่อ

บทความนี้นำเสนอการออกแบบและการวิเคราะห์อินเวอร์เตอร์หลายระดับรูปแบบใหม่ซึ่งเหมาะสมสำหรับผู้ผลิตไฟฟ้าโดยเซลล์พลังงานแสงอาทิตย์ขนาดเล็กในการต่อเข้ากับระบบส่งจ่ายไฟฟ้า โดยเป็นการพัฒนาระหว่างพีดับบลิวเอ็มอินเวอร์เตอร์ ชุดประกอบอินเวอร์เตอร์หลายระดับ และหม้อแปลงกระแสเดด เพื่อสร้างแรงดันด้านออกแบบขั้นบันได ซึ่งสร้างรูปคลื่นแรงดันด้านด้านออกที่มีคุณภาพสูง โดยการสร้างจำนวนระดับแรงดันจำนวนมากโดยใช้หม้อแปลงกระแสเดด ซึ่งสามารถลดจำนวนอุปกรณ์สวิตช์จากพีดับบลิวเอ็มอินเวอร์เตอร์หลายระดับที่มีอยู่เดิม การทวนสอบการออกแบบอินเวอร์เตอร์ที่นำเสนอทำโดยการใช้คอมพิวเตอร์ช่วยในการจำลองการทำงานโดยโปรแกรม Matlab/Simulink เพื่อวิเคราะห์รูปคลื่นและความเหมาะสมในการต่อเข้ากับระบบไฟฟ้าสาธารณะ

คำสำคัญ: อินเวอร์เตอร์หลายระดับแบบพีดับบลิวเอ็ม, อินเวอร์เตอร์สำหรับเซลล์แสงอาทิตย์

Abstract

This paper is presented the design and analysis of a new scheme multilevel Pulse Width Modulation (PWM) Inverters which may suitable to applied with a Grid connected Photovoltaic (PV) System as a Very Small Power Producer (VSPP). The proposed inverter consist of numbers of Multi level (PWM) inverter and cascade transformer. In order to produce an output wave form, it synthesized a large number of output voltage from each inverter using cascade transformer. It abated number of switching devices of the traditional style of Multilevel PWM Inverters. The validity of the proposed system is analyzed and verified through a computer-aided simulation by Matlab/Simulink software package.

Keywords: Multilevel PWM Inverter, Low THD., Grid connection

¹ มหาวิทยาลัยเทคโนโลยีราชมงคลชัญบูรี อ.ชัญบูรี จ.ปทุมธานี 12110

² สำนักงานมาตรฐานผลิตภัณฑ์อุตสาหกรรม ถ.พระรามที่ 6 ราชเทวี กรุงเทพฯ 10400 โทรศัพท์: 0-2202-3462

1. บทนำ

เนื่องจากความต้องการในการใช้พลังงานไฟฟ้ามีความต้องการเพิ่มขึ้นอย่างต่อเนื่องแต่วัตถุคิดที่ใช้ในการผลิตมีจำนวนจำกัด และมีราคาเพิ่มขึ้นอย่างต่อเนื่อง พลังงานแสงอาทิตย์จึงเป็นแหล่งพลังงานที่สำคัญทางเลือกหนึ่งในการผลิตไฟฟ้า เนื่องจากมีจำนวนมากและเป็นพลังงานที่ได้เปล่า การผลิตไฟฟ้าโดยเซลล์แสงอาทิตย์สามารถผลิตไฟฟ้าเป็นไฟฟ้ากระแสตรง จึงมีความจำเป็นอย่างมากที่จะต้องเปลี่ยนเป็นไฟฟ้ากระแสสลับ โดยเฉพาะอย่างยิ่งในการต่อเข้ากับระบบไฟฟ้าหลักของประเทศ จะต้องเปลี่ยนเป็นไฟฟ้ากระแสสลับที่ระดับแรงดัน 220 โวลต์ 50 เฮิรตซ์ ตามระบบไฟฟ้าในประเทศไทย และในการต่อเข้ากับระบบไฟฟ้าของการไฟฟ้านครหลวง และการไฟฟ้าส่วนภูมิภาค ได้มีข้อกำหนดให้ผู้ผลิตไฟฟ้ารายย่อยที่จะต่อเข้ากับระบบไฟฟ้ามีค่าความเพี้ยน率าร์โนนิกส์รวม (Total Harmonic Distortion, THD) และค่าความเพี้ยน率าร์โนนิกเดพะ (Individual Harmonic Distortion, IHD) ตามที่มาตรฐานกำหนด [1]-[4] ฉะนั้นการออกแบบอินเวอร์เตอร์สำหรับต่อเข้ากับระบบไฟฟ้าสามารถจะต้องออกแบบให้สัญญาณค่านอกของอินเวอร์เตอร์ใกล้เคียงกับไซน์ และมีค่า率าร์โนนิกส์ตามมาตรฐานกำหนด

แรงดันไฟฟ้าที่ผลิตจากแผงเซลล์แสงอาทิตย์ มีค่าต่ำจะต้องเพิ่มแรงดันโดยปกติจะใช้โดยบุสต์คอนเวอร์เตอร์หรือบัก-บุสต์คอนเวอร์เตอร์เพื่อยกระดับแรงดัน[5]-[6] และเปลี่ยนแรงดันไฟฟ้าเป็นกระแสสลับอีกรั้งหนึ่ง ในการเปลี่ยนแรงดันเป็นไฟฟ้ากระแสสลับปกติจะเปลี่ยนโดยใช้พีดับบลิวเอ็ม (PWM) อินเวอร์เตอร์ แต่เนื่องจากความถี่สูงใน

การสวิตช์ของพีดับบลิวเอ็มอินเวอร์เตอร์มีผลให้มีคุณภาพต่ำและเกิดปัญหาการสอดแทรกสนามแม่เหล็กกระบวนการ (EMI) การใช้อินเวอร์เตอร์หลายระดับ (Multilevel Inverter) จึงเป็นอีกวิธีหนึ่งที่ทำให้คุณภาพของแรงดันไฟฟ้าดีขึ้น อินเวอร์เตอร์ที่นิยมใช้คือ ไดโอด-แคลเมปอินเวอร์เตอร์ พลายนิยมใช้มากคือสเกเดลฟูลบริดจ์ อินเวอร์เตอร์ [7]-[9] ซึ่งสามารถลด率าร์โนนิกส์ที่ทำให้รูปคลื่นเปลี่ยนไปได้ แต่ต้องใช้อุปกรณ์สวิตช์จำนวนมาก

บทความนี้จึงนำเสนออินเวอร์เตอร์รูปแบบใหม่ ที่ประกอบด้วยส่วนที่เป็นพีดับบลิวเอ็มอินเวอร์เตอร์และ อินเวอร์เตอร์หลายระดับ และมีหน้าอแปลงค่าสเกเดลเพื่อแยกส่วนที่เป็นอุปกรณ์สวิตช์กับโหลด โดยมีส่วนที่เป็นพีดับบลิวเอ็มเข้าไปช่วยให้แต่ละระดับของอินเวอร์เตอร์หลายระดับมีค่าใกล้เคียงกันมากขึ้น

จุดประสงค์ของอินเวอร์เตอร์ที่นำเสนอในนี้มีประโยชน์หลายด้านคือ

1. สามารถเปลี่ยนแรงดันจากไฟตรงเป็นไฟสลับขนาดแรงดันต่ำโดยไม่ต้องใช้บุสต์คอนเวอร์เตอร์
2. สามารถแยกส่วนวงจรแรงดันต่ำจากเซลล์แสงอาทิตย์และออกจากวงจรสวิตช์ซึ่งเป็นแรงดันสูงออกจากกันโดยใช้หน้าอแปลงค่าสเกเดล
3. สามารถสร้างระดับแรงดันโดยลดจำนวนอุปกรณ์สวิตช์
4. ไม่จำเป็นต้องมีวงจรกรองด้านนอกเนื่องจาก率าร์โนนิกส์ล้ำดับที่สูงถูกกรองออกไปแล้ว ดังนั้นสามารถสร้างรูปคลื่นแรงดันด้านออกที่มีคุณภาพสูง และ
5. สามารถลดปัญหาการสอดแทรกแม่เหล็ก

ไฟฟ้า (EMI) หรือความเข้ากันได้ของแม่เหล็กไฟฟ้า (EMC) แม้ว่าพีดับบลิวเอ็มอินเวอร์เตอร์จะทำงานที่ความถี่สวิตชิ่งสูงก็ตาม

2. อินเวอร์เตอร์หลายระดับที่นำเสนอนอก

2.1 ลักษณะวงจร

บทความนี้นำเสนองานพีดับบลิวเอ็มอินเวอร์เตอร์หลายระดับรูปแบบใหม่ที่ 3, 5, 11 และ 29 ระดับ ซึ่งสามารถลดอุปกรณ์สวิตชิ่งลงและไม่ต้องใช้วงจรยกระดับแรงดันรายละเอียดจำนวนอุปกรณ์สวิตชิ่งดังตารางที่ 1

ตารางที่ 1 จำนวนอุปกรณ์สวิตชิ่ง

PWM Inverter	อินเวอร์เตอร์เดี่ยว			อินเวอร์เตอร์ที่นำเสนอย่าง	
	ยก ระดับ	PWM Multilevel	รวม	PWM Multilevel	TR
3 Level	1	4	5	4	1
5 Level	1	8	9	8	2
11 Level	1	20	21	12	3
29 Level	1	56	57	16	4

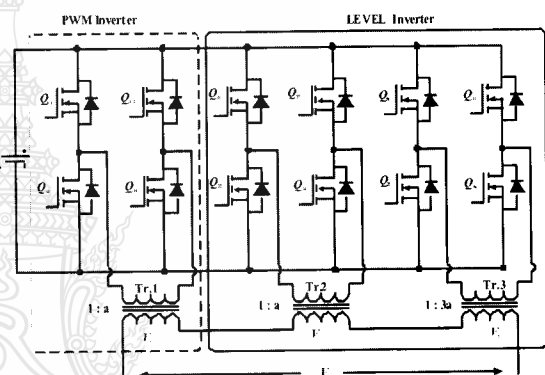
วงจรพีดับบลิวเอ็มอินเวอร์เตอร์หลายระดับที่นำเสนอกือให้อินเวอร์เตอร์และหม้อแปลงชุดแรกเป็นพีดับบลิวเอ็มอินเวอร์เตอร์ และอินเวอร์เตอร์ และหม้อแปลงชุดต่อๆไปจะเป็นอินเวอร์เตอร์ระดับสามารถหาค่าระดับของแรงดันด้านนอกสามารถหาได้โดย

$$N = 3^{n-1} + 2, \quad n = 1, 2, 3, \dots \quad (1)$$

เมื่อ N คือ จำนวนระดับด้านนอก และ n คือ จำนวนชุดของฟูลบริดจ์ วงจรของพีดับบลิวเอ็มอินเวอร์เตอร์

ดังนั้นพีดับบลิวเอ็มอินเวอร์เตอร์ 3 ระดับ จะประกอบด้วย PWM Inverter 1 ชุด ที่ 5 ระดับ

จะประกอบด้วย PWM Inverter 1 ชุด และ Level Inverter 1 ชุด ส่วนพีดับบลิวเอ็มอินเวอร์เตอร์ 11 ระดับ จะประกอบด้วย PWM Inverter 1 ชุด และ Level Inverter 2 ชุด และพีดับบลิวเอ็มอินเวอร์เตอร์ 29 ระดับจะประกอบด้วย PWM Inverter 1 ชุด และ Level Inverter 3 ชุด ตัวอย่างลักษณะการต่อวงจรของพีดับบลิวเอ็มอินเวอร์เตอร์ 11 ระดับจะเป็นดังแสดงในรูปที่ 1



รูปที่ 1 วงจรพีดับบลิวเอ็มอินเวอร์เตอร์ 11 ระดับ

สามารถหาอัตราส่วนจำนวนรอบของหม้อแปลง (Transformer, Tr) ได้ เช่น หม้อแปลงตัวที่ 1 หรือ Tr เท่า กับ 1: a และสำหรับหม้อแปลงตัวอื่นสามารถหาได้โดย

$$Tr(n) = 1 : (3^{n-1} \times a) \quad (2)$$

ในการออกแบบพีดับบลิวเอ็มอินเวอร์เตอร์ที่ 3, 5, 11 และ 29 ระดับ สามารถหาค่าอัตราส่วนหม้อแปลงได้ตามตารางที่ 2

ตารางที่ 2 ระดับด้านออกจากหม้อแปลงค่าสเกล

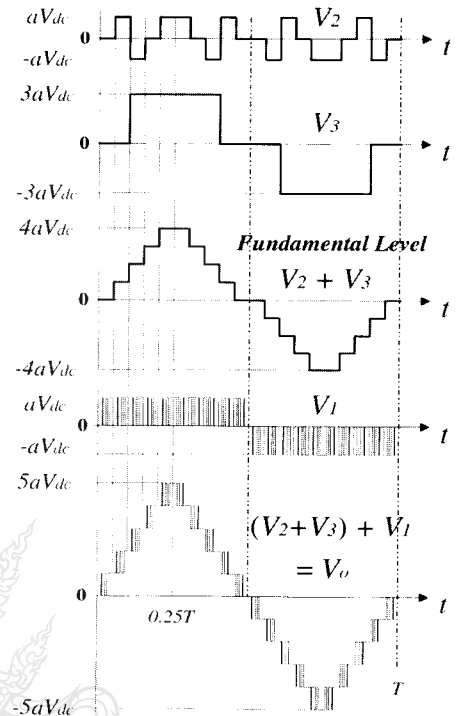
หม้อแปลงค่าสเกล	PWM		LEVEL		
	Tr(1)	Tr(2)	Tr(3)	Tr(4)	..Tr.(n)
อัตราส่วนหม้อแปลง	1: a	1: a	1: $3a$	1: $9a$	1: $3^{n-1}a$
ระดับด้านออก (Level)	3				
		5			
			11		
				29	
					N ตาม สมการ(1)

2.2 หลักการทำงาน

จากรูปที่ 1 ตัวอย่างวงจรพีดับบลิวเอ็ม อินเวอร์เตอร์หลายระดับที่นำเสนอน 11 ระดับ ซึ่งประกอบด้วยวงจรฟูลบридจ์อินเวอร์เตอร์ 4 ชุด แต่ละชุดต่อเข้ากับหม้อแปลง ซึ่งขาด漉ดด้านออก ต่ออนุกรมกันอยู่ โดยหม้อแปลงค่าสเกลจะทำหน้าที่ยกระดับแรงดันเพื่อสร้างจำนวนระดับของแรงดันด้านออก รูปที่ 2 แสดงรูปคลื่นของของพีดับบลิวเอ็มอินเวอร์เตอร์ 11 ระดับ ซึ่งประกอบด้วยแรงดันด้านออกของอินเวอร์เตอร์หลายระดับ ซึ่งในรูปนี้คือ 9 ระดับ ($\pm 4aV_{dc}$, $\pm 3aV_{dc}$, $\pm 2aV_{dc}$, $\pm aV_{dc}$ และ 0) เป็นผลให้แรงดันด้านออกสุดท้าย (V_o) คือผลรวมของแรงดันดังกล่าวเป็น 11 ระดับ

ในการณี 3 ระดับจะประกอบด้วยพีดับบลิวเอ็มอินเวอร์เตอร์ชุดเดียว กรณีของ 5 ระดับ จะประกอบด้วยพีดับบลิวเอ็มรวมกับแรงดันด้านออกจากหม้อแปลงชุดที่ 2 ที่เป็น 3 ระดับ และกรณีของ 29 ระดับจะประกอบด้วยชุดระดับคือแรงดันด้านออกของหม้อแปลงชุดที่ 2, 3 และ 4 รวมกันเป็น 27 ระดับและรวมกับพีดับบลิวเอ็มอีก 2 ระดับเป็น

29 ระดับ ตัวอย่างลักษณะรูปคลื่นที่ออกจากหม้อแปลงของ 11 ระดับเป็นไปตามรูปที่ 2



รูปที่ 2 รูปคลื่นแรงดันพีดับบลิวเอ็มอินเวอร์เตอร์ 11 ระดับ

2.3 สวิตชิ่งฟังก์ชัน

ในการสร้างวงจรควบคุมสามารถออกแบบ แรงดันด้านออกของวงจรควบคุมตารางที่ 2 แสดง สวิตชิ่งฟังก์ชันด้านนาฬิกาของพีดับบลิวเอ็มอินเวอร์เตอร์ 3 ระดับ ($n = 1$) ถึง 29 ระดับ ($n = 4$) จาก สมการที่ (1) ส่วนสวิตชิ่งฟังก์ชันด้านนาฬิกา ได้โดยการคูณค่าในตารางด้วยค่า -1 ซึ่งจากการ สามารถหาสวิตชิ่งฟังก์ชันได้ดังแต่ 3 ระดับ ($n = 1$) 5 ระดับ ($n = 2$) 11 ระดับ ($n = 3$) และ 29 ระดับ ($n = 4$)

สำหรับการออกแบบพีดับบลิวเอ็มอินเวอร์เตอร์ 3 ระดับ จะมีสวิตชิ่งฟังก์ชันตามตารางที่ 2 โดย

เลือกเฉพาะ SF1 ในคลื่นบางเพื่อไปควบคุมอุปกรณ์สวิตช์ชุดที่ 1 ช่วงระดับ (Level) 0 ถึง 1 และเอาค่าดังกล่าวคูณด้วย -1 สำหรับคลื่นช่วงลับ กรณีของ 5 ระดับจะใช้ SF1 และ SF2 ช่วงระดับ (Level) 0 ถึง 2 กรณีของ 11 ระดับจะใช้ SF1, SF2 และ SF3 ช่วงระดับ (Level) 0 ถึง 5 และกรณีของ 29 ระดับ จะใช้ SF1, SF2, SF3 และ SF4 ช่วงระดับ (Level) 0 ถึง 14 การกำหนดค่าเป็นไปตามตารางที่ 3

ตารางที่ 3 สวิตช์ฟังก์ชันด้านบาง

Leve l (n)	สวิตช์ฟังก์ชัน				แรงดันที่ขึ้น				แรงดัน ด้านออก
	SF1	SF2	SF3	SF4	V1	V2	V3	V4	
0 $0 \leftrightarrow 0$	0	0	0	0	0	0	0	0	0
1 $0 \leftrightarrow 1$	0	0	0		$0 \leftrightarrow aVdc$	0	0	0	$aVdc$
2 $0 \leftrightarrow 1$	1	0	0		$0 \leftrightarrow aVdc$	$aVdc$	0	0	$2aVdc$
3 $0 \leftrightarrow 1$	-1	1	0		$0 \leftrightarrow aVdc$	$-aVdc$	$3aVdc$	0	$3aVdc$
4 $0 \leftrightarrow 1$	0	1	0		$0 \leftrightarrow aVdc$	0	$3aVdc$	0	$4aVdc$
5 $0 \leftrightarrow 1$	1	1	0		$0 \leftrightarrow aVdc$	$aVdc$	$3aVdc$	0	$5aVdc$
6 $0 \leftrightarrow 1$	-1	-1	1		$0 \leftrightarrow aVdc$	$-aVdc$	$-3aVdc$	$9aVdc$	$6aVdc$
7 $0 \leftrightarrow 1$	0	-1	1		$0 \leftrightarrow aVdc$	0	$-3aVdc$	$9aVdc$	$7aVdc$
8 $0 \leftrightarrow 1$	1	-1	1		$0 \leftrightarrow aVdc$	$aVdc$	$-3aVdc$	$9aVdc$	$8aVdc$
9 $0 \leftrightarrow 1$	-1	0	1		$0 \leftrightarrow aVdc$	$-aVdc$	0	$9aVdc$	$9aVdc$
10 $0 \leftrightarrow 1$	0	0	1		$0 \leftrightarrow aVdc$	0	0	$9aVdc$	$10aVdc$
11 $0 \leftrightarrow 1$	1	0	1		$0 \leftrightarrow aVdc$	$aVdc$	0	$9aVdc$	$11aVdc$
12 $0 \leftrightarrow 1$	-1	1	1		$0 \leftrightarrow aVdc$	$-aVdc$	$3aVdc$	$9aVdc$	$12aVdc$
13 $0 \leftrightarrow 1$	0	1	1		$0 \leftrightarrow aVdc$	0	$3aVdc$	$9aVdc$	$13aVdc$
14 $0 \leftrightarrow 1$	1	1	1		$0 \leftrightarrow aVdc$	$aVdc$	$3aVdc$	$9aVdc$	$14aVdc$

2.4 กำลังไฟฟ้าที่จ่ายโดยหม้อแปลงแต่ละตัว

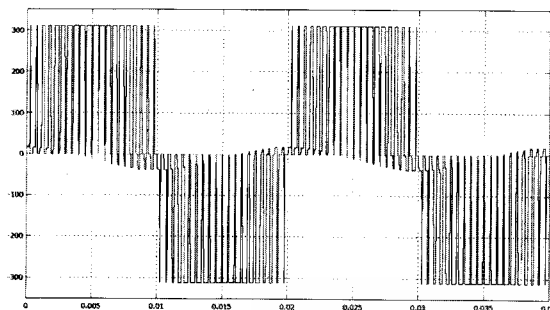
จุดประสงค์ของพืดับบลิวอินเวอร์เตอร์ที่นำเสนอในบทความนี้ เพื่อปรับปรุงรูปคลื่นของแรงดันให้ดีขึ้นเนื่องจากการส่งกำลังไฟฟ้าไปที่โหลดส่วนใหญ่จะถูกส่งผ่านหม้อแปลงของอินเวอร์เตอร์ชุดหลัง ซึ่งในกรณีของอินเวอร์เตอร์ 11 ระดับ ถ้าสมมุติให้หม้อแปลงเป็นอุดมคติ กำลังไฟฟ้าที่จ่ายให้โดยหม้อแปลงแต่ละตัวจะขึ้นกับอัตราส่วนของคลาดทางด้านทุติยภูมิ ดังนั้นกำลังไฟฟ้าที่จ่ายโดยหม้อแปลงสามารถหาได้โดยสมการที่ (3)

$$P_{Tr,n} = \frac{Tr.n_sec}{\sum_{n=1}^k Tr.n_sec} \times 100 (\%) \quad (3)$$

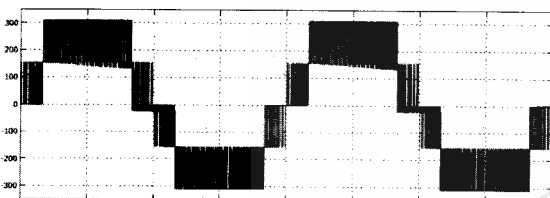
เมื่อ $Tr.$ n_sec คืออัตราส่วนของหม้อแปลงด้านทุติยภูมิของแต่ละหม้อแปลง จากสมการที่ (3) ในกรณีของ 11 ระดับการจ่ายกำลังของหม้อแปลงแต่ละตัวจะเป็น 20%, 20% และ 60% ตามลำดับ ในกรณีของ 29 ระดับกำลังไฟฟ้าที่จ่ายของหม้อแปลงแต่ละตัวจะเป็น 7.14%, 7.14%, 21.43% และ 64.29% ตามลำดับ

3. ผลการจำลองและการประเมินผล

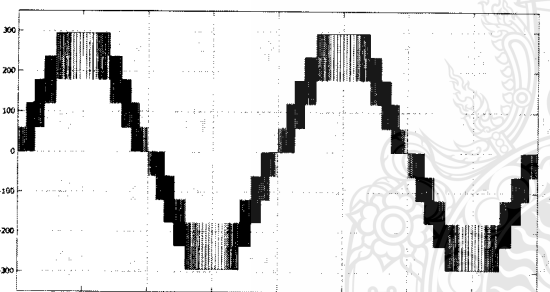
ในการทดสอบประสิทธิภาพของวงจรโดยใช้โปรแกรมคอมพิวเตอร์ Matlab/Simulink ช่วยในการจำลองการทำงานผลรูปคลื่นของ 3, 5, 11 และ 29 ระดับเป็นดังรูปที่ 3 (ก) (ข) (ค) และ (ง) ตามลำดับ



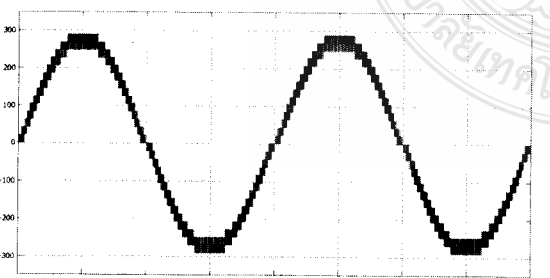
(ก)



(ข)



(ก)

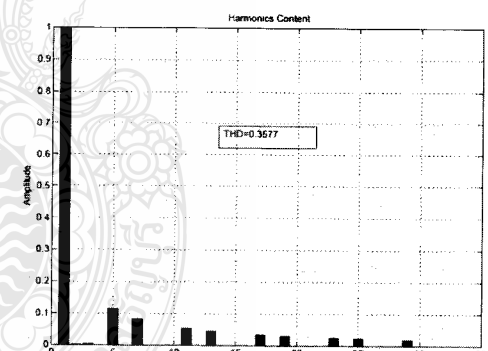


(จ)

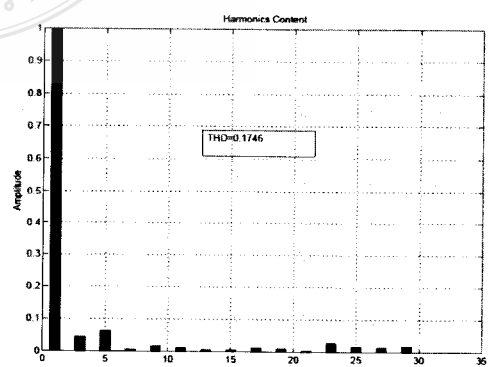
รูปที่ 3 รูปคลื่นแรงดันที่ 3, 5, 11 และ 29 ระดับ

จากรูปคลื่นในรูปที่ 3 จะเห็นว่ารูปคลื่นของ 3 ระดับก็จะเหมือนกับวงจรพืดับบลิวเอ็มแบบฟูลบริดจ์รวมค่า และไม่สามารถช่วยลดจำนวนอุปกรณ์สวิตซ์ได้มากนัก กล่าวคือช่วยลดได้เฉพาะวงจรยกระดับแรงดันเท่านั้น แต่ยังเพิ่มส่วนที่เป็นหน้าแปลง ส่วนที่เป็น 5 ระดับรูปคลื่นยังไม่ใกล้เคียงใช่นำมากนัก กรณีของ 11 ระดับรูปคลื่นของวงจรจะใกล้เคียงใช้และสามารถลดอุปกรณ์สวิตซ์ได้ตามที่ได้กล่าวมาแล้วจำนวน 9 ตัว ตามตารางที่ 1 และ 29 ระดับสามารถลดจำนวนอุปกรณ์สวิตซ์ได้ถึง 41 ตัว

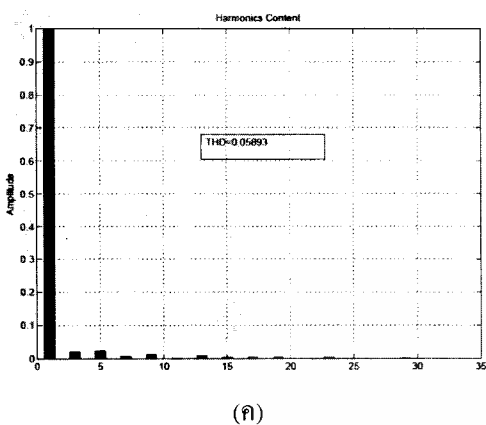
รูปที่ 4 แสดงค่าแรงดันของเตลาร์โอมนิกส์ของแต่ละวงจร คือรูปที่ 4 คือแบบ 5 ระดับ (ก) 11 ระดับ (ข) และ 29 ระดับ (ก) ตามลำดับ



(ก)



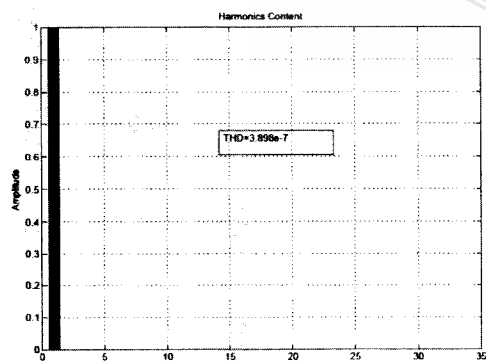
(ข)



(ก)

รูปที่ 4 ชาร์โนมนิกส์แรงดันขั้นขณะไม่มีโหลดของ อินเวอร์เตอร์แบบ 5, 11 และ 29 ระดับ

โดยมีค่าความเพี้ยนชาร์โนมนิกส์รวม (THD) ของ 3, 5, 11 และ 29 ระดับเป็น 75.94%, 50.77%, 22.92% และ 11.21% ตามลำดับ ซึ่งยังเกินตามที่ มาตรฐานกำหนดให้มีไม่เกิน 5% อยู่ แต่มีอีกต่อไปเข้ากับ ระบบไฟฟ้า ซึ่งเป็นระบบที่ใหญ่กว่ามาก การต่อโดยใช้วงจรพืดบบลิวเอ็มอินเวอร์เตอร์ 11 ระดับจะได้ ค่าความเพี้ยนชาร์โนมนิกส์รวม (THD) และค่าความ เพี้ยนชาร์โนมนิกส์เฉพาะ (IHD) เป็นไปตามที่มาตรฐาน กำหนด ดังรูปที่ 5 แต่ทั้งนี้การวัดค่าชาร์โนมนิกส์ตาม มาตรฐานดังกล่าวจะวัดค่าชาร์โนมนิกส์รวมที่มีอยู่ รวมกับชาร์โนมนิกส์ที่มีอยู่เดิมด้วย แต่จากการจำลอง นี้ไม่ได้คิดค่าชาร์โนมนิกส์ที่มีอยู่เดิม



รูปที่ 5 รูปชาร์โนมนิกส์ของวงจรพืดบบลิวอิน เวอร์เตอร์ 11 ระดับ ขณะต่อเข้าระบบไฟฟ้าสาธารณะ

4. สรุปผล

พืดบบบลิวเอ็มอินเวอร์เตอร์หลายระดับรูปแบบ ใหม่ที่นำเสนอดำรงรับใช้ในการต่อสำหรับผู้ผลิต ไฟฟ้านานาดิจิตาก โดยใช้เซลล์พลังงานแสงอาทิตย์สำหรับต่อเข้ากับระบบไฟฟ้าสาธารณะ ซึ่งสามารถสร้างรูปคลื่นแรงดันไฟฟ้าที่มีคุณภาพสูง ตามจำนวนระดับที่สร้าง โดยสามารถลดอุปกรณ์สวิตชิ่ง และการใช้หน้อแปลงกระแสเคดยังสามารถแยกส่วนที่เป็นอุปกรณ์สวิตชิ่งออกจากส่วนที่เป็น แรงดันสูงและช่วยในการกรองความถี่สูง ได้ด้วย สำหรับพืดบบบลิวเอ็มอินเวอร์เตอร์ 3 ระดับไม่ สามารถช่วยลดจำนวนอุปกรณ์สวิตชิ่งได้ และ 5 ระดับรูปคลื่นยังไม่ใกล้เคียงใช้น้ำกันน้ำ ในกรณี ของ 11 ระดับ และ 29 ระดับ จะได้รูปคลื่นใกล้เคียง กับใช้นี้ มีค่า THD และ IHD ต่ำ และเมื่อต่อเข้ากับ ระบบโดยไม่คิดค่าชาร์โนมนิกส์ที่ระบบมีอยู่เดิม จะเป็นไปตามมาตรฐานกำหนด

5. เอกสารอ้างอิง

- [1] IEEE Std 929-2000 “IEEE Recommended Practice for Utility Interface of Photovoltaic (PV) Systems” IEEE Std, New York, USA, 30th January 2000.
- [2] IEEE Std 519-1992 “IEEE Recommended Practice and Requirement for Harmonic Control in Electrical Power Systems” IEEE Std, New York, USA, 12th April 1993.
- [3] คณะกรรมการปรับปรุงความเชื่อถือ ได้ของ ระบบไฟฟ้า “ข้อกำหนดกฎหมายที่ชาร์โนมนิก เกี่ยวกับไฟฟ้าประเภทธุรกิจและอุตสาหกรรม” คณะกรรมการปรับปรุงความเชื่อถือ ได้ของ ระบบไฟฟ้า กรุงเทพมหานคร, 1998.

- [4] คณะกรรมการปรับปรุงความเชื่อถือได้ของระบบไฟฟ้าประเภทธุรกิจและอุตสาหกรรม “ระเบียบการไฟฟ้าฝ่ายจำหน่ายว่าด้วยการเดินเครื่องกำเนิดไฟฟ้าขนาดกับระบบของ การไฟฟ้าฝ่ายจำหน่ายสำหรับปริมาณ พลังงานไฟฟ้าไม่เกิน 1 เมกะวัตต์”, การไฟฟ้านครหลวง/การไฟฟ้าส่วนภูมิภาค กรุงเทพมหานคร, พฤษภาคม 2545.
- [5] Geoffrey R. Walker, Paul C. Sernia “Cascaded DC-DC Converter Connection of PV Module”. IEEE Transactions on Power Electronics, Vol.19, No.4, July 2004.
- [6] Juan Jose Negroni, Carlos Meza, Domingo Biel and Francesc Guinjoan “Control of a Buck Inverter for Grid-Connected PV System: a Digital and Sliding Mode Control Approach” IEEE ISIE 2005, Dubronik, Croatia, June 20-23, 2005
- [7] Leon M. Tolbert, Fang Z. Peng “Multilevel Converters as Utility Interface for Renewable Energy Systems” The University of Tennessee, USA, 18th May 1988.
- [8] Burak Ozpineci, Leon M. Tolbert, Zhong Du “Optimum Fuel Cell Utilization with Multilevel Inverters” 2004 35th Annual IEEE Power Electronics Specialists Conference, Aachen, Germany, 2004
- [9] S. Chandhaket, Y. Konishi, K. Ogura, E. Hiraki, M. Nakaoka “A Sinusoidal Pulse Width Modulated Inverter Using Three-Winding High-Frequency Flyback Transformer for PV Power Conditioner” Yamaguchi University, Yamaguchi, Japan, 2003
- [10] Li Li, Dariusz Czarkowski, Yaguang Lui, Pragasen Pillay “Multilevel Selective Harmonic Elimination PWM Technique in Series-Connected Voltage Inverters” IEEE Transactions on Industry Applications, Vol. 36, No.1, January/February 2000
- [11] Feel-Soon Kang, Sung-Jun Park, Su Eog Cho, Cheul-K Kim, Toshifumi Ise “Multilevel PWM Inverters Suitable for the Use of Stand-Alone Photovoltaic Power System” IEEE Transactions on Energy Conversion, Vol. 20, No.4, December 2005



วันชัย ทรุพย์สิงห์ สำเร็จการศึกษา ค.บ. (วิศวกรรมไฟฟ้า) จากสถาบันเทคโนโลยีพระจอมเกล้าพระนครเหนือ ป.บัณฑิต (วิศวกรรมไฟฟ้า) จาก จุฬาลงกรณ์มหาวิทยาลัย ว.ค.ม.(วิศวกรรมไฟฟ้า) สถาบันเทคโนโลยีพระจอมเกล้าพระนครเหนือ Ph.D (Electrical Engineering), UNN, Newcastle, England, ปัจจุบันเป็นอาจารย์ประจำภาควิชาวิศวกรรมไฟฟ้า มหาวิทยาลัยเทคโนโลยีราชมงคลธัญบุรี



เจสเวิน จันทร์จำรัส เกิดที่จังหวัด นครศรีธรรมราช ปี พ.ศ. 2515 ได้รับ ปริญญาตรี ว.ค.บ. ไฟฟ้ากำลังจาก สถาบันเทคโนโลยีราชมงคลเมื่อปี พ.ศ. 2544 ปัจจุบันรับราชการตำแหน่งนักวิชาการ มาตรฐาน ที่สำนักงานมาตรฐานผลิตภัณฑ์อุตสาหกรรม และกำลังศึกษาระดับปริญญาโท (ว.ค.ม.) วิศวกรรมไฟฟ้า ที่มหาวิทยาลัยเทคโนโลยีราชมงคลธัญบุรี สนใจทำงานวิจัยด้านอิเล็กทรอนิกส์กำลัง ปัญหา ความเข้ากันได้ของสนานแม่เหล็กไฟฟ้า และ พลังงานทดแทน